

ساخت و بررسی خواص زیست‌سازگاری نانوکامپوزیت HA/UHMWPE برای کاربرد در مهندسی پزشکی

سید علی میرصالحی^۱، علیرضا خاوندی^۱، شمس الدین میردامادی^۱، محمدرضا نعیمی جمال^۲، سید محمد کلانتری^۱

^۱دانشکده مهندسی مواد و متالورژی، دانشگاه علم و صنعت ایران، ^۲دانشکده شیمی، دانشگاه علم و صنعت ایران

Khavandi@iust.ac.ir

چکیده:

امروزه نانوکامپوزیت‌ها بخصوص کامپوزیت‌های زمینه پلیمری به‌دلیل خواص نزدیک به بافت استخوان کاربردهای فراوانی به‌عنوان جایگزین استخوان در پژوهشی پیدا کرده‌اند. در این پژوهش، ابتدا نانوکامپوزیت به روش اختلاط در فاز مذاب با کمک روغن پارافین با درجه‌ی پرشکی به‌عنوان کمک ذوب فاز زمینه و با استفاده از دستگاه محلوکنن داخلى با مقادیر مختلف ۱۰، ۲۰، ۳۰، ۴۰ و ۵۰ Wt. % از نانو ذرات هیدروکسی‌آپاتیت در دمای ۱۱۰°C ساخته شد. در ادامه، خواص زیست‌سازگاری نمونه‌ها توسط آزمون‌های آلیزارین رد، آلکالین فسفاتاز و چسبندگی سلولی با استفاده از سلول‌های استئوبلاست با رده‌ی سلولی MG-63 مورد ارزیابی قرار گرفت. نتایج به‌دست آمده از آزمون‌های زیست‌سازگاری و بررسی‌های انجام شده توسط میکروسکوپ الکترونی رویشی نشان دهنده عدم سمیت، زیست‌سازگاری و برهمکنش مناسب بین سطح نمونه‌ها و سلول‌های MG-63، بخصوص نمونه با ۵۰ Wt. % نانوذرات هیدروکسی‌آپاتیت، است.

اطلاعات مقاله:

دریافت: ۲۸ فروردین ۱۳۹۴

پذیرش: ۷ تیر ۱۳۹۴

کلید واژه:

نانوکامپوزیت، خواص زیست‌سازگاری، آلیزارین رد، آلکالین فسفاتاز، سلول استئوبلاست

شکل قطعه‌ای با شکل ویژه مصرف می‌شوند که به آن‌ها کاشتنی (ایمپلنت) گفته می‌شود، همچنین بیوسرامیک‌ها گاهی نیز به صورت پودر به عنوان پرکننده و برخی اوقات به صورت پوشش بر روی یک زیرلایه‌ی فلزی و یا به عنوان فاز تقویت‌کننده در کامپوزیت‌ها مورد استفاده قرار می‌گیرند [۱].

ترکیب استخوان انسان شامل ۵۰ تا ۷۰ درصد وزنی فاز معدنی، ۲۰ تا ۴۰ درصد وزنی فاز آلی، ۵ تا ۱۰ درصد وزنی آب و کمتر از ۳ درصد وزنی انواع چربی است. فاز آلی

در سال‌های اخیر، تحول اساسی در استفاده و کاربرد سرامیک‌ها به منظور بهبود کیفی عمر بشر پدید آمده است. اغلب کاربردهای کلینیکی بیوسرامیک‌ها مرتبط با سیستم اسکلتی بدن، استخوان، دندان‌ها، مفاصل و بازسازی بافت نرم و سخت بدن است. بیوسرامیک‌ها در انواع شکل‌ها با فازهای مختلف تولید می‌شوند و عملکرد متفاوتی در ترمیم بدن ارائه می‌کنند. در بسیاری از کاربردها، سرامیک‌ها به

۱- مقدمه



بررسی‌های درون‌تنی^۳ در زمینه سرامیک‌های کلسیم‌فسفاتی توسط محققان مشخص کرد که نیاز به نرخ کم جذب‌شوندگی در محیط بدن توسط این سرامیک‌ها برای انجام برهم‌کنش بین بافت و کاشت‌تی، مدل‌سازی مجدد بافت‌های فیبری ارتباطی^۴ و استئوکانداکتیویتی، وجود دارد [۲۲].

اگرچه استفاده از HA به تنها‌ی در پزشکی به عنوان زیست‌ماده به دلایلی نظیر، تردی، سفتی بالا، پدیده حفاظت‌تنشی^۵، استحکام مکانیکی نامناسب، چگالی بالا محدود شده است [۲۳، ۴]، اما یک راه مناسب برای غلبه بر محدودیت‌های این ماده پرکاربرد در پزشکی، استفاده از آن به عنوان فاز تقویت‌کننده در کامپوزیت‌ها با کاربردهای زیست‌پزشکی است [۲۵، ۲۴، ۱۸].

پلی‌اتیلن (PE) یک ماده‌ی آلی است که به سه دسته پلی‌اتیلن با چگالی پایین (LDPE)، پلی‌اتیلن با چگالی زیاد (HDPE) و پلی‌اتیلن با وزن مولکولی بسیار بالا (UHMWPE) تقسیم‌بندی می‌شود. تمامی پلیمرهای خانواده PE کاربردهای فراوانی در ساخت کامپوزیت و نانوکامپوزیت‌های پزشکی دارند [۴، ۶، ۲۴، ۱۴، ۸، ۱۲، ۲۶، ۲۷، ۲۷]. میانگین وزن مولکولی UHMWPE بیش از یک میلیون گرم بر مول است [۲۸]. UHMWPE به دلیل دارا بودن خواصی مثل مقاومت به سایش، ضریب اصطکاک کم، پایداری شیمیایی، جذب رطوبت پایین و زیست‌سازگاری کاربرد گسترده‌ای در مهندسی بافت دارد [۲۷، ۲۹، ۳۱-۲۹]. مکانیزم چسبندگی این پلیمر به بافت استخوان به طور

استخوان به طور عمده شامل فیبرهای کلاژن I است که ۹۰ درصد وزنی فاز آلی استخوان را تشکیل می‌دهد [۶-۲]. کلسیم‌فسفات‌ها بخش عمده‌ای از فاز معدنی استخوان را تشکیل می‌دهند. کلسیم‌فسفات‌ها به سه دسته کامل، جزئی و عدم جذب‌شونده در محیط بیولوژیکال تقسیم‌بندی می‌شوند. مقدار جذب‌شوندگی آن‌ها در محیط بدن به نسبت استوکیومتری کلسیم به فسفات وابسته است. به عنوان مثال هیدروکسی‌آپاتیت (HA) پایداری بیشتری نسبت به تری کلسیم فسفات (TCP) در محیط بیولوژیک از خود نشان می‌دهد [۹-۷]. HA با فرمول شیمیایی $\text{Ca}_{10}(\text{PO}_4)_6(\text{OH})_2$ ، تشکیل دهنده ۶۰ تا ۷۰ درصد وزنی از فاز معدنی استخوان انسان است [۱۱، ۱۰]. از این رو، HA به عنوان یک ماده زیست‌سازگار برای کاربردهای نظیر سیمان استخوانی، جایگزین استخوان، داربست‌های مهندسی بافت و ... شناخته شده است [۱۰، ۱۲-۱۴]. HA دارای خواصی نظیر زیست‌سازگاری، زیست‌فعالی^۱، استئوکانداکتیویتی^۲، عدم سمیت [۱۵، ۱۶] شbahت ساختاری و بیولوژیکی به بافت استخوان [۱۳، ۱۷] و توانایی برقراری پیوند است. زیست‌فعال عبارت است از توانایی برقراری پیوند مستقیم شیمیایی با سلول‌های بدن و به قابلیت هدایت رشد استخوانی، استئوکانداکتیویتی می‌گویند [۱۹]. به عبارتی این ماده توانایی آن را دارد که وقتی در محیط بدن قرار می‌گیرد، بازسازی بافت استخوان از دست رفته را تسهیل و تشویق کند [۲۰، ۲۱].

³ In-vivo

⁴ Fibrous connective tissues

⁵ Stress shielding

¹ Bioactivity

² Osteoconductivity



الدریج امریکا با جرم مولکولی متوسط 60000 g/mol در دمای 0°C و چگالی 0.94 g/cm^3 و نانو ذرات هیدروکسی آپاتیت با چگالی 3.2 g/cm^3 که از پیش ماده‌های P_2O_5 و $\text{Ca}(\text{NO}_3)_2 \cdot 4\text{H}_2\text{O}$ با روش سل-ژل سنتز شد [۳۳، ۱۹] و روغن پارافین با درجه‌ی پزشکی ساخت شرکت Merck آلمان با کد تجاری ۱۰۷۱۷۴ MPa.s چگالی 0.86 g/cm^3 در دمای 20°C و گرانروی $30-40$ استفاده شد.

۲-۲- ساخت نانو کامپوزیت

در این پژوهش برای ساخت کامپوزیت از دستگاه مخلوط کن داخلی مدل پلاستیک اوردر ساخت شرکت برابندر آلمان استفاده شد. قبل از مخلوط کردن پلیمر و نانو پودر هیدروکسی آپاتیت (Nano-HA) با دستگاه مخلوط کن داخلی، روغن پارافین و پلیمر با نسبت $1:3$ [۳۴] به صورت دستی در دمای 100°C با هم مخلوط شدند. این کار به منظور جذب سطحی روغن توسط پودر پلیمر صورت گرفته است. سپس مخلوط به دست آمده درون مخلوط کن داخلی با دمای 180°C و سرعت 120 دور بر دقیقه ریخته شد. پس از ذوب کامل پلیمر، سرعت دستگاه به 80 دور بر دقیقه تقلیل داده شد و پودر Nano-HA به مذاب پلیمر اضافه شد و این دو جزء به مدت 10 دقیقه با هم مخلوط شدند و مخلوط در هوا سرد شد. پس از ساخت کامپوزیت‌ها به منظور تهیه نمونه‌هایی با توزیع مناسب ذرات فاز دوم در زمینه پلیمری و ساخت موادی با ترکیب همگن، کامپوزیت‌های ساخته شده توسط دستگاه بال میل نیمه صنعتی مدل ZM200 Retsch، پودر شدند. در جدول ۱ ترکیب وزنی نمونه‌ها مشخص شده است.

طبیعی به دلیل پایین بودن خاصیت استئوایнтگریشن^۱ در این پلیمر، به صورت مکانیکی است [۱۴]. محققان زیادی نظری نعیمی و همکاران [۱۲]، فانگ و همکاران [۳۲]، همایی گوهر و همکاران [۱۴] و... از این پلیمر به دلیل داشتن خواص مکانیکی و زیست‌سازگاری مناسب به طور همزمان، با اضافه کردن مواد زیست‌فعالی مانند TCP و HA به آن، در کاربردهای مهندسی بافت از آن استفاده کردند.

کامپوزیت‌های ساخته شده بر پایه‌ی این پلیمر در صنایع زیادی شامل مهندسی شیمی، مهندسی بافت، ساخت کاغذ، داروسازی، مهندسی حمل و نقل و مهندسی کشاورزی کاربرد دارد [۲۹].

در این تحقیق ابتدا، نانو کامپوزیت به روش اختلاط در فاز مذاب با کمک روغن پارافین با درجه‌ی پزشکی به عنوان کمک ذوب UHMWPE و برای غلبه بر گرانروی بالای این پلیمر در حالت مذاب و با استفاده از دستگاه مخلوط کن داخلی با مقادیر مختلف 10 ، 20 ، 30 ، 40 و 50 wt.% از نانو ذرات هیدروکسی آپاتیت در دمای 180°C ، ساخته شد. در ادامه، خواص زیست‌سازگاری نمونه‌ها توسط آزمون‌های آلیزارین رد^۲، آلکالین فسفاتاز^۳ و چسبندگی سلولی با استفاده از سلول‌های استنوبلاست با رده‌ی سلولی MG-63، مورد ارزیابی قرار گرفت.

۲- فعالیت‌های تجربی

۲-۱- مواد اولیه

در این تحقیق از پلیمر UHMWPE ساخت شرکت سیگما

¹ Osteointegration

² Alizarin red staining (ARS)

³ Alkaline phosphatase (ALP) activity



- ۳- خشک کردن و حذف استون: به منظور حذف استون پودرهای شست و شو شده درون خشک کن با دمای 100°C و به مدت ۲۴ ساعت قرار گرفتند [۴۰-۳۵].
- ۴- شست و شو نمونه های آزمون های زیستسازگاری: بعد از ساخت نمونه های آزمون های زیستسازگاری، به منظور حذف پارافین احتمالی موجود بر روی سطح نمونه ها، آن ها را توسط استون با استفاده از دستگاه التراسونیک با دمای 40°C به مدت ۳۰ دقیقه شسته و برای حذف استون، نمونه ها به مدت یک ساعت در خشک کن با دمای 100°C قرار داده شدند.

۴-۲- ساخت نمونه های آزمون های زیستسازگاری

نمونه های آزمون های زیستسازگاری با استفاده از پرس گرم ساخته شدند. بدین منظور ابتدا کامپوزیت پودر شده درون قالب به شکل قرص با ضخامت ۵ mm و قطر ۱۰mm ریخته شد و تحت پرس گرم با فشار $\frac{3}{8}\text{ MPa}$ و دمای 200°C به مدت ۳۰ دقیقه قرار گرفت. بدین منظور ابتدا کامپوزیت های پودر شده درون قالب ریخته شدند و تحت فشار کم قرار گرفتند تا مواد ضمن نرم شدن تمامی حفره های احتمالی را پر کنند و به خوبی در قالب پخش شوند. سپس نیرو را افزایش و تحت شرایط اشاره شده به مدت ۳۰ دقیقه قرار گرفتند. سپس مواد تحت فشار تا دمای اتاق سرد شده تا کیفیت کامپوزیت ساخته شده حفظ شود. پس از آن، قالب از زیر پرس و نمونه از داخل آن خارج شد.

۴-۳- آزمون های زیستسازگاری

به منظور بررسی خواص زیستسازگاری نانو کامپوزیت

جدول ۱- ترکیب وزنی نمونه ها

کد نمونه	درصد وزنی UHMWPE (wt.%)	درصد وزنی Nano HA (wt.%)	چگالی (gr/cm ³)
شاهد	۱۰۰	۰	۰/۹۴
H1	۹۰	۱۰	۱/۱۶۶
H2	۸۰	۲۰	۱/۳۹۲
H3	۷۰	۳۰	۱/۶۱۸
H4	۶۰	۴۰	۱/۸۴۴
H5	۵۰	۵۰	۲/۰۷

۳-۲- خارج کردن پارافین

بعد از ساخت کامپوزیت ها، روغن پارافین اضافه شده به طور کامل از آن ها به صورتی که در زیر توضیح داده می شود، خارج شد:

۱- پرس گرم: ابتدا کامپوزیت ها توسط دستگاه پرس گرم تحت پرس با دمای 100°C و فشار $\frac{3}{8}\text{ MPa}$ به مدت ۱ ساعت قرار گرفتند. به دلیل کمتر بودن چگالی پارافین (0.86 g/cm^3) از دمای 20°C (0.94 g/ml) دمای 25°C و HA (0.2 g/cm^3) پارافین بر روی سطح جمع شد و مقدار زیادی از پارافین اضافه شده، به این روش خارج شد.

۲- شست و شو با استون: در مرحله بعد کامپوزیت ها توسط دستگاه بال میل Retsch ZM200 پودر شدند و برای حذف پارافین هر ترکیب کامپوزیت پودر شده ۳ مرتبه با استون خالص ساخت شرکت مرک آلمان، به این صورت که مخلوط استون و کامپوزیت پودر شده در بشر ریخته شد و توسط همزن مکانیکی با سرعت ۵۰۰ دور بر دقیقه به مدت ۹۰ دقیقه و با دمای $35-50^{\circ}\text{C}$ (دمای جوش استون 60°C) هم زده و شست و شو شد. این کار برای هر ترکیب ۳ بار تکرار شد.



مشخصی محیط کشت به عنوان کنترل در نظر گرفته شد.

۸-۲- شرایط سلول‌های استخوانی

با توجه به نوع کارکرد نانوکامپوزیت ساخته شده از سلول‌های استئوبلاست با شماره‌ی پرونده‌ی MG-63(NCBI C555) گرفته شده از بانک سلولی انسنتیو پاستور ایران استفاده شد. پس از خارج کردن سلول‌ها از حالت منجمد شده، آن‌ها را به فلاسک حاوی محیط کشت منتقل کرده و سپس فلاسک، در انکوباتور با دمای ۳۷ درجه‌ی سانتی‌گراد، رطوبت ۹۰٪ و غلظت اکسیژن ۵٪ نگهداری شدند. قابل اشاره است که محیط کشت هر ۳-۴ روز تعویض گردید.

۹-۲- آلیزارین رد^۲

جهت انجام این آزمون تعداد ۱۰۰۰ عدد سلول MG-63 را درون پلیت‌های شش خانه^۳ ریخته و به مدت دو هفته در معرض نمونه‌های ساخته شده، قرار داده شدند. سلول‌ها درون انکوباتور با دمای ۳۷ درجه و رطوبت ۸۸٪ به همراه ۵٪ دی‌اکسید کربن نگهداری شدند. جهت رشد سلول‌ها از محیط کشت RPMI به میزان FBS، ۱۰٪ بهره گرفته شد. پس از سپری شدن مدت زمان یاد شده، ابتدا محیط کشت موجود بر روی سلول‌ها خارج شد و سلول‌ها را با استفاده از محلول نمکی حاوی ۹٪ NaCl شستشو داده و سپس محلول فرم آلدید ۱۰٪ را به مدت ۳۰-۲۰ دقیقه جهت ثابت کردن سلول‌ها اضافه شد.

پس از سپری شدن مدت زمان یاد شده، سلول‌ها را با استفاده از محلول نمکی، دو تا سه بار شستشو داده و در

HA/UHMWPE در محیط برون تنی^۱ از آزمون‌های بیولوژیکی گوناگونی نظیر آلیزارین رد، آلکالین فسفاتاز و بررسی چسبندگی سلولی به سطح کامپوزیت، بر اساس استاندارد ISO 10993-5 استفاده شد. به این منظور، رده‌ی سلولی استئوبلاست با مشخصات پرونده MG-63(NCBI C555) بکار گرفته شد.

پس از استریل کردن نمونه‌ها آن‌ها را در محیط کشت (DMEM, 10%FBS) که قبلاً آماده شده بود قرار داده و با در نظر گرفتن زمان‌های از پیش تعیین شده، آزمون‌های اشاره شده انجام شد.

۶-۲- فرایند استریلیزه کردن

جهت استریلیزه کردن، ابتدا نمونه‌ها را در داخل فالکون گذاشته و سپس آن‌ها درون دستگاه اتوکلاو با فشار ۶۰ دمای ۱۲۰ درجه سانتی‌گراد به مدت ۵/۱ kg/cm² دقیقه، قرار داده شد.

پس از استریل کردن، جهت انجام فرایند عصاره‌گیری، نمونه‌ها را درون محیط کشت قرار داده و در بازه‌های زمانی مشخص، محیط کشت از روی آن‌ها برداشته شده و مورد ارزیابی قرار گرفتند.

۷-۲- عصاره‌گیری از نمونه‌ها

به منظور بررسی سمیت نمونه‌ها و تاثیر آن‌ها بر رشد و تکثیر سلول‌ها فرایند عصاره‌گیری از نمونه انجام شد که طی آن به ازای هر ۳ cm² سطح، ۱ میلی‌لیتر محیط کشت به ظرف حاوی نمونه افزوده شد. سپس در فواصل زمانی ۳، ۷، ۱۴ روز محیط خارج و به سلول‌ها اضافه شد و مقدار

² Alizarin red

³ Well plate

¹ In-vitro



بعد از چسبیدن سلول‌ها، مقدار مشخصی از محیط کشت که شامل ۱۰٪ سرم جنین گاو (FBS) بود (10%FBS,DMEM)، به هر خانه اضافه شد. بعد از ۱ و ۳ روز، محلول روی نمونه‌ها خارج شد و نمونه‌ها با سالین بافر شده با فسفات^۲ شسته شدند و سپس از ۲/۵٪ گلوتارآلدهید^۳ برای ثابت کردن سلول‌ها استفاده شد.

ثابت کردن سلول‌ها به این صورت انجام شد که، بعد از ریختن مقدار مشخص از تثبیت کننده روی هر نمونه، نمونه‌ها در فریزر به مدت ۲۴ ساعت قرار گرفتن و سپس ماده تثبیت کننده از روی نمونه‌ها خارج شده و نمونه‌ها با الكل ۹۵، ۷۰ و ۱۰۰٪ به ترتیب شسته شدند. در نهایت سلول‌های چسبیده به نمونه‌ها توسط SEM مشاهده و عکسبرداری شدند.

۱۲-۲- بررسی آماری

بررسی آماری توسط نرم‌افزار SPSS انجام شد. داده‌ها به صورت mean values \pm standard deviation (SD)

۱۳-۲- بررسی ریزساختار، نحوه ساخت و خواص زیستسازگاری

به منظور بررسی ریزساختار و نحوه توزیع فاز تقویت کننده در زمینه‌ی پلیمری از آزمون‌های طیف‌سنجی اشعه ایکس (XRD)، طیف‌سنجی مادون قرمز (FTIR) و میکروسکوپ SEM استفاده شد. همچنین آزمون‌های آلیزارین رد، آلکالین فسفاتاز و چسبندگی سلولی برای بررسی خواص زیستسازگاری نمونه‌های تولید شده به روش اختلاط در فاز مذاب توسط دستگاه مخلوط‌کن داخلی، بکار گرفته شدند.

² Phosphate-buffered saline

³ Glutaraldehyde

ادامه به میزان ۲ میلی لیتر از محلول رنگی آلیزارین رد را بر روی نمونه‌ها ریخته و نمونه‌ها به مدت ۳۰–۴۵ دقیقه در دمای اتاق و در محلی تاریک قرار داده شدند. پس از زمان بالا محلول رنگی را خارج کرده و سلول‌ها با استفاده از محلول نمکی یاد شده، ۲ بار شستشو داده شد و در ادامه در زیر میکروسکوپ نوری رنگ پذیری سلول‌ها، نسبت به نمونه‌ی کنترل مورد ارزیابی قرار گرفت.

۱۰-۲- آلکالین فسفاتاز

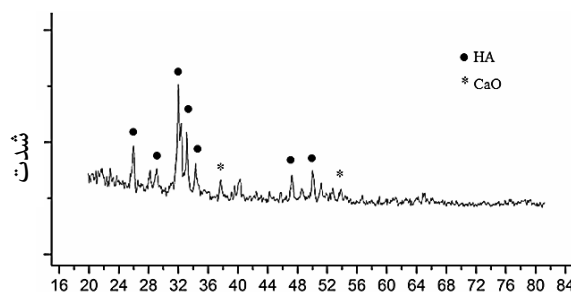
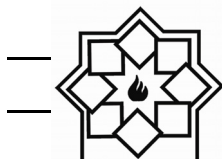
جهت انجام آزمون آلکالین فسفاتاز ابتدا نمونه‌ها به روش اشاره شده، استریل گشت. در ادامه تعداد ۱۰۰۰۰ عدد سلول استئوبلاست با رده‌ی MG-63 به هر خانه از پلیت ۶ خانه اضافه گردید و به میزان ۲ میلی لیتر محیط کشت RPMI به همراه ۱۰٪ سرم جنین گاوی به هر خانه اضافه شد. قابل اشاره است که یک خانه از پلیت مذکور تحت عنوان کنترل حاوی سلول بدون نمونه در نظر گرفته شد.

پلیت مذکور به مدت ۲ هفته درون انکوباتور حاوی گاز دی‌اکسید کربن ۵٪ و دمای کشت ۳۷ درجه سانتی‌گراد قرار گرفت. هر هفته یک بار به میزان یک میلی لیتر از محیط کشت موجود بر روی هر خانه خارج و به یک میکروتیوب ۱/۵ میلی لیتری استریل منتقل شده و جهت انجام آزمایش در روزهای آینده درون فریزر با دمای -۲۰ درجه سانتی‌گراد قرار داده شدند.

۱۱-۲- چسبندگی سلولی

هر نمونه در یک خانه از پلیت ۲۴ خانه قرار گرفت. سپس ۴۰۰۰–۵۰۰۰ عدد سلول با حجم ۵۰ μL روی سطح هر نمونه ریخته شد و پلیت در انکوباتور^۱ به مدت ۴–۵ ساعت قرار گرفت.

¹ Incubator



شکل ۱- طیف XRD نانو درات HA سنتز شده به روش سل-ژل

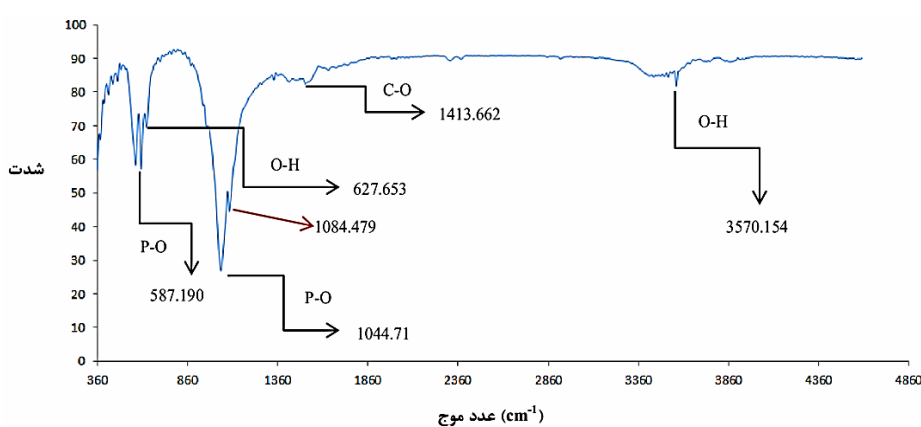
در گراف بدست آمده از نمونه‌ی نانو پودر هیدروکسی‌آپاتیت سنتز شده، پیک شدید و پهن بین $900\text{-}1100\text{ cm}^{-1}$ مربوط به PO_4^{3-} است. مدهای کنشی و خمشی PO_4^{3-} بین $560\text{-}600\text{ cm}^{-1}$ به وضوح دیده می‌شوند. پیک حدود 1400 cm^{-1} نیز مربوط به ارتعاش کششی گروه کربنات است که احتمالاً ناشی از حضور پیش ماده‌ها و یا به دلیل جذب شیمیایی CO_2 محیط می‌باشد.

۳- نتایج و بحث

۱-۳- بررسی ریزساختار

به منظور بررسی فازی و شیمیایی نانوذرات سنتز شده، از آزمون‌های XRD و FTIR استفاده شد. همانطور که در شکل ۱ دیده می‌شود اغلب پیک‌های اصلی از جمله پیک‌ها باشد 100 و 80 مربوط به فاز HA می‌باشد. الگوی نشان می‌دهد که تنها ترکیب اصلی موجود در پودر سنتز شده فاز هیدروکسی‌آپاتیت بلوری است، با این حال آثار ضعیف احتمالی از ترکیب CaO را نیز می‌توان شناسایی کرد.

شکل ۲، تغییرات ساختار شیمیایی نانو پودر هیدروکسی‌آپاتیت سنتز شده را نشان می‌دهد. ساختار آپاتیت در نمونه نانو پودر با مدهای ارتعاشی 610 cm^{-1} (P-O) و 627 cm^{-1} (O-H) مشاهده می‌شود. در $560\text{-}600\text{ cm}^{-1}$ نیز پیک مربوط به OH آپاتیت در HA خالص به وضوح مشخص است.



شکل ۲- طیف FTIR نانو پودر HA سنتز شده به روش سل-ژل

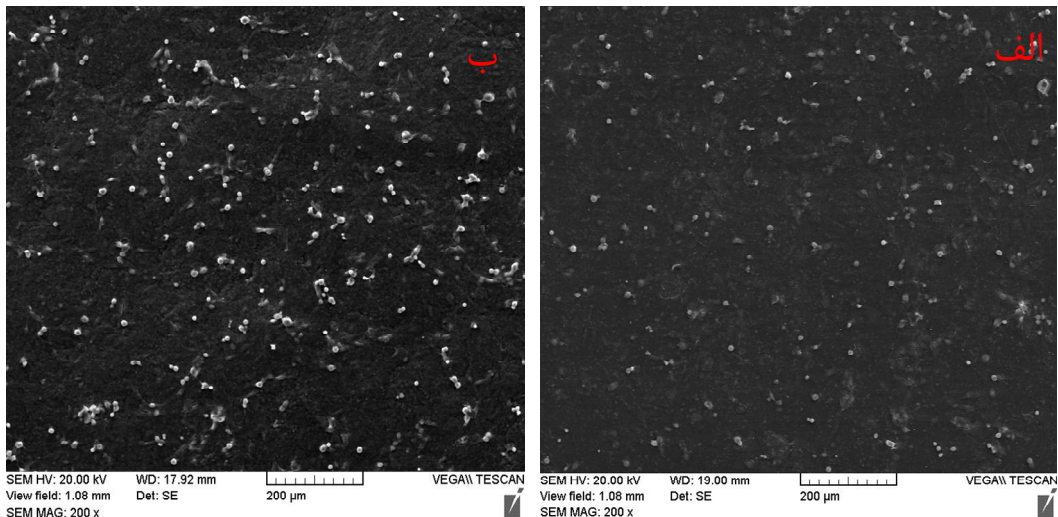
که در شکل ۳ مشاهده می‌شود ذرات فاز تقویت‌کننده به خوبی و تقریباً همگن در زمینه پلیمری توسط روش اختلاط در فاز مذاب با کمک دستگاه مخلوط‌کن داخلی، پراکنده

۲-۳- بررسی نحوه توزیع فاز تقویت‌کننده

به منظور بررسی نحوه توزیع نانوذرات HA در زمینه‌ی UHMWPE از میکروسکوپ SEM استفاده شد. همانطور



می‌باید که این عامل باعث افزایش انرژی داخلی ماده با افزایش انرژی سطحی ناشی از وجود نانو ذرات می‌شود و در نتیجه برای کاهش انرژی درونی و پایداری بیشتر، واکنش بین ذرات تقویت کننده با هم، افزایش یافته و این ذرات به هم چسبیده و آگلومره می‌شوند.



شکل ۳-۳- نحوه توزیع نانو ذرات HA در زمینه UHMWPE، (الف) نمونه H1 و (ب) نمونه H5

ترکیب آن‌ها شبیه به ترکیب مواد معدنی استخوان طبیعی می‌باشد پس ایجاد این لایه باعث افزایش میل سلول‌های MG-63 برای چسبیدن به ذراتی است که این لایه بر روی آن‌ها تشکیل شده است، می‌شود.

همانطور که در شکل ۴ مشاهده می‌شود نمونه H5 نسبت به سایر نمونه‌ها و همچنین نمونه‌ی شاهد و کنترل (پلیت کشت از جنس پلی‌استایرن) میزان بیشتری کلسیم در ماتریس خارج سلولی ترشح کرده است. به طور کل می‌توان گفت که افزایش میزان ترشح یون کلسیم با افزایش درصد نانو ذرات HA بدلیل افزایش مقدار وزنی و حجمی این ذرات و در نتیجه افزایش بیواکتیویته‌ی و مکان‌های مناسب برای چسبندگی، رشد و تکثیر سلول‌ها می‌باشد.

شده‌اند. همانطور که در شکل ۳ مشخص است نانو ذرات HA به هم چسبیده و به شکل آگلومره در آمده‌اند که دلیل این امر این است که بدلیل نانو بودن ذرات تقویت کننده، سطح تماس بین فیلر و زمینه نسبت به حالت میکرونوی و بزرگتر، افزایش می‌باید در نتیجه انرژی سطح آزاد افزایش

۳-۳- بررسی نتایج آلیزارین رد

نتایج مربوط به آزمون آلیزارین رد در شکل ۴ نمایش داده شده است. همانطور که در شکل ۴ مشاهده می‌شود با زیاد شدن درصد نانو ذرات HA در نمونه‌ها میزان رنگ قرمز افزایش پیدا کرده است که این امر نشان دهنده‌ی آن است که میزان ترشح یون کلسیم در ماتریس خارج سلولی (ECM¹) افزایش یافته‌اند.

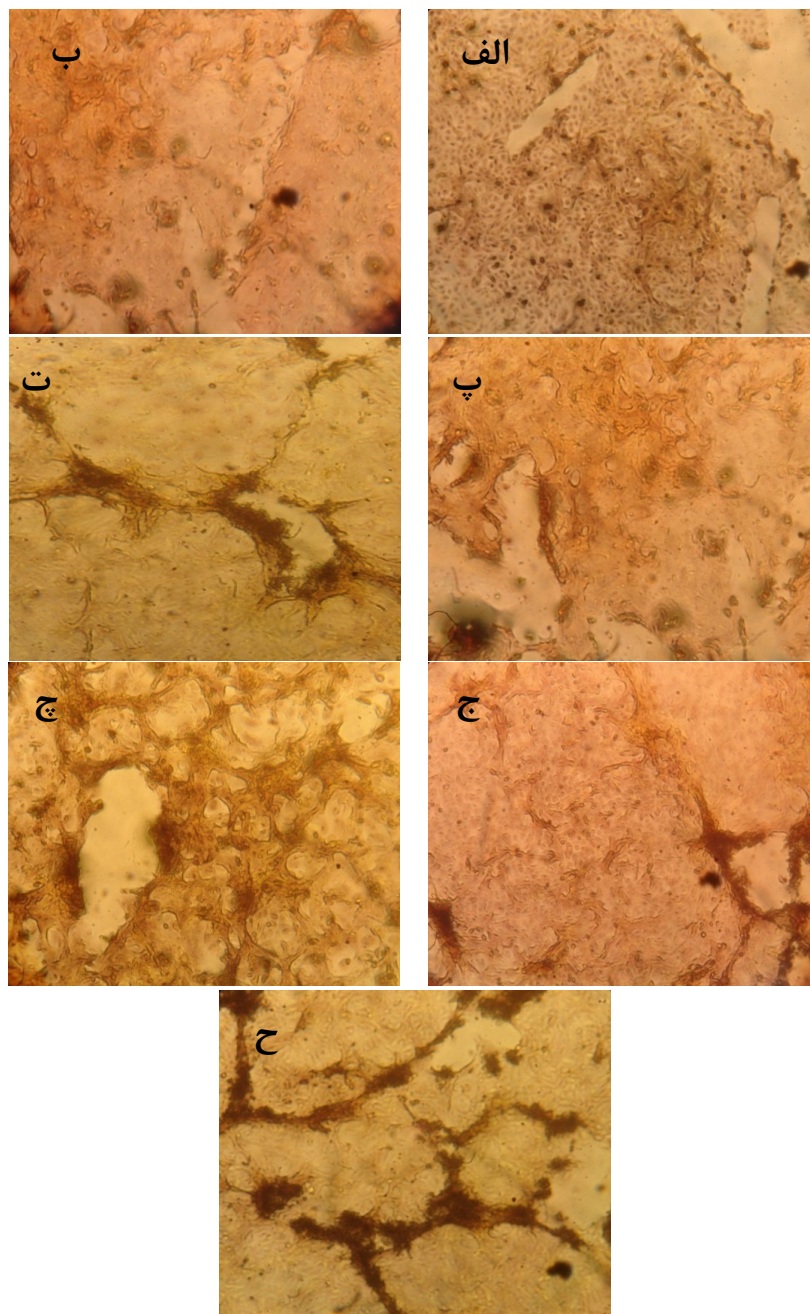
یون‌های کلسیم آزاد شده بر روی ذرات موجود در کامپوزیت نشسته و یک لایه کلسیمی بر روی سطح آن‌ها تشکیل می‌دهند. این لایه مکان‌های مناسب زیست‌فعالی هستند که

¹ Extracellular matrix



پلیمر زمینه می‌شود. این مکان‌ها با گذشت زمان با سلول‌های استئوبلاست پر می‌شوند.

اضافه کردن بیوسرامیک HA به زمینه UHMWPE باعث فراهم شدن مکان‌های زیست‌فعالی بر روی سطح



شکل ۴- نتایج به دست آمده از آزمون آلیزارین رد،

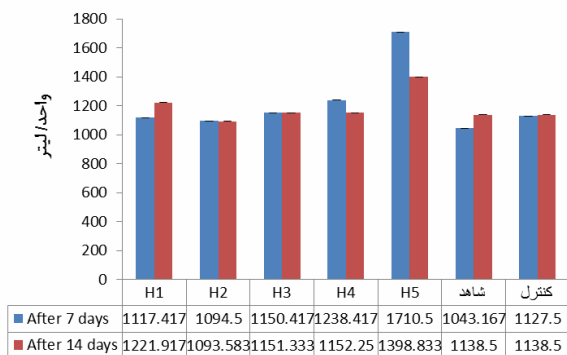
(الف) شاهد، (ب) پلیت کشت (کنترل)، (پ) H1، (ت) H2، (ج) H3، (ح) H4 و (ح) H5

بدن قرار می‌گیرد، بازسازی بافت استخوان از دست رفته

به عبارتی HA توانایی آن را دارد که وقتی در محیط



کامپوزیت‌های ساخته شده توسط آزمون ALP بعد از ۷ و ۱۴ روز مورد بررسی قرار گرفت. نتایج به دست آمده در شکل ۵ نشان داده شده است.



شکل ۵- نتایج آزمون آنژیم فسفاتاز بعد از ۷ و ۱۴ روز

با توجه به شکل ۵ میزان ترشح آنژیم آلکالین فسفاتاز توسط سلول‌های MG-63 برای نمونه‌های H4 و H5 بعد از گذشت ۱۴ روز نسبت به ۷ روز کاهش پیدا کرده است که این میزان افت برای نمونه H4 مقدار زیادی نیست ولی در نمونه‌ی H5 این کاهش، قابل ملاحظه می‌باشد، به طوری که میزان ترشح آنژیم آلکالین فسفاتاز بعد از گذشت ۱۴ روز نسبت به ۷ روز برای نمونه H5 به میزان ۱۸/۲۲٪ کاهش یافته است. همچنین میزان ترشح این آنژیم برای نمونه‌های H2 و H3 بعد از گذشت ۷ و ۱۴ روز تقریباً برابر و برای نمونه‌های شاهد و H1 میزان ترشح این آنژیم بعد از گذشت ۱۴ روز نسبت به ۷ روز مقدار کمی افزایش داشته است.

همانطور که در شکل ۵ مشاهده می‌شود میزان ترشح آنژیم آلکالین فسفاتاز برای نمونه H5 بعد از گذشت ۷ روز ۶۳/۹۷٪ بیشتر از نمونه‌ی شاهد و ۵۱/۷۰٪ بیشتر از نمونه‌ی کنترل و بعد از ۱۴ روز ۲۲/۸۶٪ بیشتر از نمونه‌ی کنترل و شاهد می‌باشد. همچنین میزان ترشح

را تسهیل و تشویق کند. به گزارش هوانگ^۱ و همکاران [۴۱] در مجله Nature، می‌توان علت این پدیده را به پروتئین استئوکلسین^۲، که مهمترین پروتئین غیر کلازنی استخوان است، منسوب کرد. این پروتئین نقش سیگنال‌دهنده را برای سلول‌های استئوبلاست و استئوکلاست^۳ بازی می‌کند. استئوکلسین به HA گرایش دارد و به آن می‌چسبد. بررسی‌های ساختاری این پروتئین نشان داده است که سطح این پروتئین بار منفی دارد و در آن یون‌های کلسیم به صورتی جهت‌گیری کرده‌اند که دقیقاً مکمل یون‌های کلسیم موجود در HA هستند

[۴۱].

عبدی و همکاران [۴۲] گزارش کردند که اضافه کردن نانوذرات HA قابلیت استئواینتگریشن کامپوزیت را افزایش می‌دهد. همچنین وبستر^۴ و همکاران [۴۳] تاثیر مثبت HA را روی تشکیل سلول‌های استئوبلاست را گزارش کردند.

۴-۳- بررسی نتایج آلکالین فسفاتاز

آلکالین فسفاتاز یک آنژیم فعال است که بوسیله سلول‌های استئوبلاست تولید می‌شود. یکی از وظایف این آنژیم تخریب پیروفسفات‌های معدنی است تا یک غلظت موضعی کافی از فسفات یا پیروفسفات ایجاد شود. همچنین مقدار این آنژیم نشان دهنده میزان فعالیت سلول‌های استئوبلاست می‌باشد.

در این تحقیق فعالیت آنژیم آلکالین فسفاتاز در مجاورت نانو

¹ Hoang

² Osteocalcin

³ Osteoclast

⁴ Webster



۳-۵- چسبندگی سلولی

بررسی‌ها بر روی چسبندگی سلول‌های MG-63 توسط SEM انجام شد. شکل ۶ نشان می‌دهد که سلول‌های MG-63 با مورفولوژی طبیعی می‌توانند به سطح بچسبند و تکثیر شوند.

همانطور که در شکل ۶ مشاهده می‌شود سلول‌ها به سطح تمامی نمونه‌ها توسط پایک‌هایی (زوائد سیتوپلاسمی) چسبیده‌اند. با افزایش درصد نانو ذرات HA، بیواکتیویته نمونه‌ها به دلیل زیست‌فعالی بالای این ذرات و همچنین مکان‌های مناسب برای چسبیدن سلول‌ها بر روی سطح افزایش می‌یابد. همچنین به دلیل نانو بودن ذرات HA سطح مناسب بیشتری در اختیار سلول‌ها برای چسبیدن نسبت به ذرات با ابعاد میکرونی و بزرگتر وجود دارد. علاوه بر این موارد، وجود پروتئین‌های فیبرونکتین^۲ و ویترونکتین^۳ از عوامل اصلی چسبندگی مناسب سلول‌های استخوانی به سطح می‌باشد [۴۵, ۴۶].

با توجه به شکل ۶، در نمونه H5 به دلیل اکتیویته بالای سطح، سلول به خوبی توسط پایک‌هایی به سطح چسبیده است. به طور کل می‌توان بیان کرد که سطح نمونه‌ها پایداری لازم و مناسب برای حمایت از چسبندگی و تکثیر سلول‌ها را دارد.

سوزوکی^۴ و همکاران [۲۲] اثبات کردند که میزان یون کلسیم در فصل مشترک کامپوزیت و سلول استئوبلاست تاثیر زیادی در حمایت کردن از رشد این سلول‌ها دارد. به همین دلیل است که سلول‌ها با شکل فنتایپیک خود

این آنژیم بعد از گذشت ۱۴ روز برای نمونه‌ی شاهد برابر نمونه‌ی کنترل است.

همایی‌گوهر و همکاران [۱۴] گزارش دادند که ممکن است دلیل کاهش آزادسازی آنژیم آلکالین فسفاتاز توسط سلول‌های MG-63 بعد از گذشت ۱۴ روز نسبت به ۷ روز، پر شدن فضاهای خالی خانه‌های پلیت کشت توسط سلول‌ها به دلیل تکثیر و تمایز بعد از گذشت ۷ روز و در نتیجه‌ی کاهش نرخ تمایز سلولی بعد از ۱۴ روز نسبت به ۷ روز باشد. این امر می‌تواند نشان دهنده این باشد که سرعت رشد، تکثیر و تمایز در کامپوزیت‌ها با افزایش درصد نانو ذرات HA افزایش چشم‌گیری می‌یابد و همچنین کاهش اندازه‌ی ذرات تقویت‌کننده از اندازه‌های بزرگتر از نانو به نانو باعث افزایش قابلیت چسبندگی، تکثیر، رشد و تمایز سلول‌های استخوانی به دلیل افزایش سطح مناسب، می‌شود.

نتایج به دست آمده از آزمون ALP همچنین نشان دهنده‌ی آن است که نانو کامپوزیت‌های HA/UHMWPE تاثیر مضر بر روی ترشح آنژیم آلکالین فسفاتاز توسط سلول‌های MG-63 نمی‌گذارند.

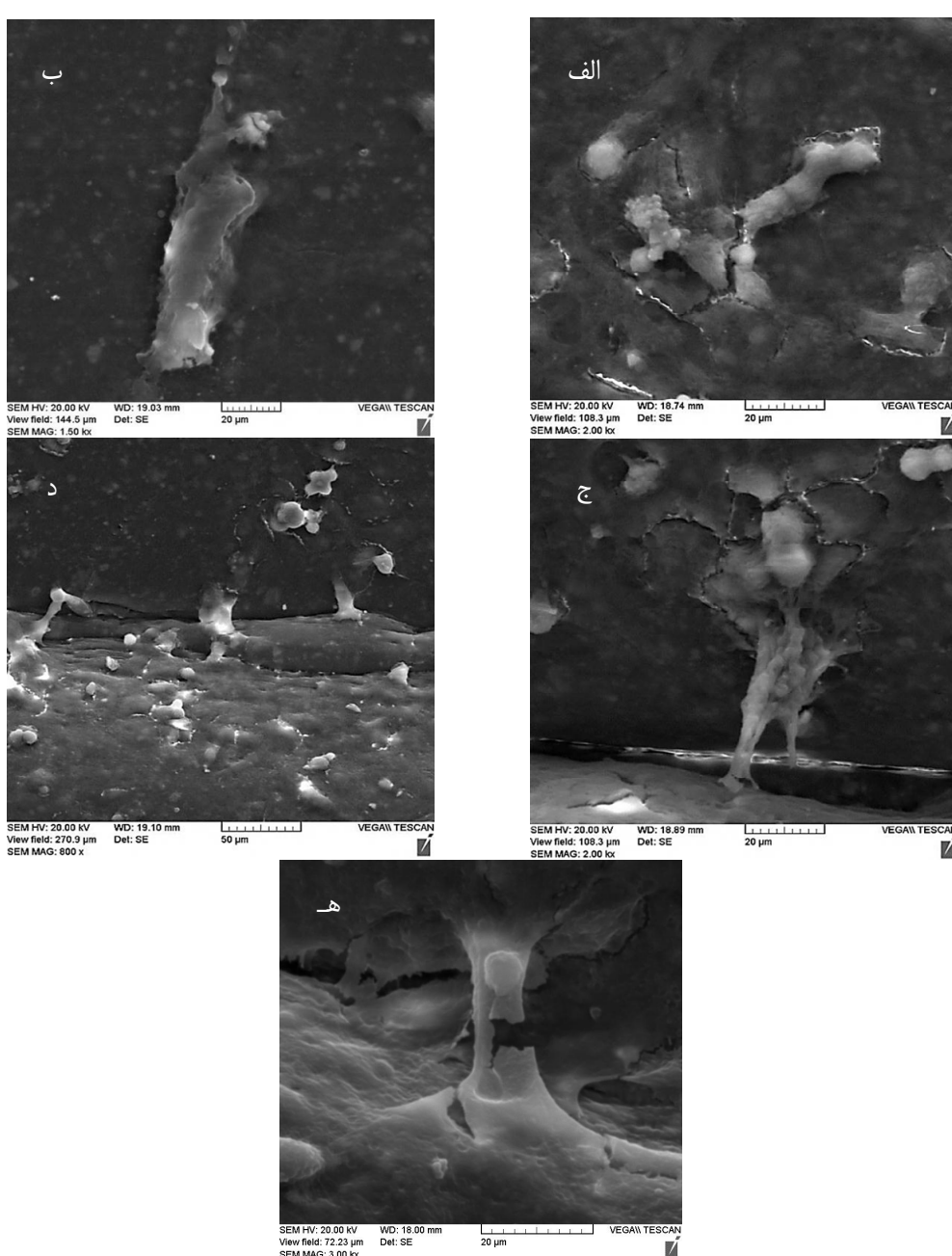
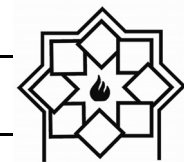
عامل دیگری که می‌تواند بر روی میزان ترشح این آنژیم موثر باشد، اندازه ذرات فاز تقویت‌کننده است. مرگان^۱ و همکاران [۴۴] سلول‌های استئوبلاست را در مجاورت نانو و میکرو ذرات HA در شرایط استاندارد و یکسان کاشتند و گزارش کردند که آنژیم آلکالین فسفاتاز به مقدار قابل توجهی بیشتر در مجاورت نانو ذرات در مقایسه با میکرو ذرات HA ترشح شدند.

² Fibronectin

³ Vitronectin

⁴ Suzuki

¹ Murugan



شکل ۶- تصاویر SEM چسبندگی سلولی، (الف) H1، (ب) H2، (ج) H3، (د) H4 و (ه) H5

فاز مذاب توسط دستگاه مخلوطکن داخلی و با استفاده از روغن پارافین با درجه پزشکی و سپس قالب‌گیری فشاری ساخته شدند. در ادامه روغن پارافین از نمونه‌ها خارج شد و

در تحقیق حاضر ابتدا نانوکامپوزیت‌ها به روش اختلاط در

۴- نتیجه‌گیری



مراجع

- [1] M. Kumar, H. Dasarathy, C. Riley, "Electrodeposition of brushite coatings and their transformation to hydroxyapatite in aqueous solutions", Journal of biomedical materials research, 45 (1999) 302-310.
- [2] M. Šupová, "Problem of hydroxyapatite dispersion in polymer matrices: a review", Journal of Materials Science: Materials in Medicine, 20 (2009) 1201-1213.
- [3] B. Clarke, "Normal bone anatomy and physiology", Clinical journal of the American Society of Nephrology, 3 (2008) S131-S139.
- [4] S. Ramakrishna, J. Mayer, E. Wintermantel, K. W. Leong, "Biomedical applications of polymer-composite materials: a review", Composites Science and Technology, 61 (2001) 1189-1224.
- [5] M. Yoshimura, "Importance of soft solution processing for advanced inorganic materials", Journal of materials research, 13 (1998) 796-802.
- [6] W. Bonfield, M. Grynpas, A. Tully, J. Bowman, J. Abram, "Hydroxyapatite reinforced polyethylene—a mechanically compatible implant material for bone replacement", Biomaterials, 2 (1981) 185-186.
- [7] N. Rangavittal, A. Landa-Cánovas, J. González-Calbet, M. Vallet-Regí, "Structural study and stability of hydroxyapatite and β -tricalcium phosphate: Two important bioceramics", Journal of biomedical materials research, 51 (2000) 660-668.
- [8] S. Yamada, D. Heymann, J.-M. Bouler, G. Daculsi, "Osteoclastic resorption of calcium phosphate ceramics with different hydroxyapatite/ β -tricalcium phosphate ratios", Biomaterials, 18 (1997) 1037-1041.
- [9] K. Vargervik, "Critical sites for new bone formation", Bone grafts and bone

خواص زیستسازگاری آن‌ها توسط آزمون‌های ARS و ALP و چسبندگی سلولی مورد ارزیابی قرار گرفت. مهم‌ترین نتایج بدست‌آمده عبارتند از:

- بررسی‌های انجام شده توسط SEM نشان دهنده آن است که نانوذرات HA بخوبی در زمینه با روش اختلاط در فاز مذاب پراکنده شده‌اند. اما نانوذرات به هم چسبیده و آگلومره شده‌اند که این امر به‌دلیل آن است که سطح تماس بین فیلر و زمینه در حالت نانو نسبت به حالت میکرونوی و بزرگتر، افزایش می‌یابد در نتیجه انرژی سطح آزاد افزایش می‌یابد که این عامل باعث افزایش انرژی داخلی ماده با افزایش انرژی سطحی ناشی از وجود نانو ذرات می‌شود و در نتیجه برای کاهش انرژی درونی و پایداری بیشتر، واکنش بین ذرات تقویت کننده با هم، افزایش یافته و این ذرات به هم چسبیده و آگلومره می‌شوند.

- با افزایش میزان نانو ذرات HA میزان ترشح یون کلسیم و فعالیت آنزیم آلکالین فسفاتاز افزایش یافت به‌طوری که نمونه‌ی H5 بیشترین میزان یون کلسیم و آنزیم ALP را از خود نشان داد.

- تمامی نانوکامپوزیت‌های ساخته شده بخصوص نمونه‌ی H5 زیستسازگار بوده و هیچ سمیتی از خود نشان ندادند.

- سطح تمامی نمونه‌ها بخصوص نمونه با ۵۰ درصد وزنی نانو ذرات HA توانایی حمایت از سلول‌های استئوبلاست MG-63 را بمنظور چسبندگی، رشد و تکثیر آن‌ها را دارد.



- bone repair scaffolds created via three-dimensional fabrication techniques", Journal of Biomedical Materials Research Part A, 67 (2003) 1228-1237.
- [18] K. Akhilesh, J. Patrick, G. Schmidt, "Nanocomposite Polymer Biomaterials for Tissue Repair of Bone and Cartilage", Journal of A Material Science Perspective, (2011).
- [۱۹] س. ع. میرصالحی، ع. خاوندی، ش. میردامادی، م.ر. نعیمی-جمال، س. روشنفر، بررسی خواص مکانیکی و سایشی نانوکامپوزیت HA/UHMWPE بعنوان جایگزین استخوان با روش نانوفوژ و نانوخراش. نشریه علمی - پژوهشی علم و مهندسی سرامیک، ۲۶ - ۱۱ .p:(۲)۳ .۱۳۹۳
- [20] J. Rieu, P. Goeuriot, "Ceramic composites for biomedical applications", (1993).
- [21] V. M. Mohammad Hossein Fathi, Seyed Iman Roohani Esfahani, "Bioactivity Evaluation of Synthetic Nanocrystalline Hydroxyapatite", Journal of Dental Research, (2008).
- [22] T. Suzuki, M. Hukkanen, R. Ohashi, Y. Yokogawa, K. Nishizawa, F. Nagata, L. Buttery, J. Polak, "Growth and adhesion of osteoblast-like cells derived from neonatal rat calvaria on calcium phosphate ceramics", Journal of bioscience and bioengineering, 89 (2000) 18-26.
- [23] L. L. Hench, J. Wilson, M. McLaren, D. Niesz, "An introduction to bioceramics", World Scientific Singapore, 1993.
- [24] M. Sattari, M. Naimi-Jamal, A. Khavandi, "Interphase evaluation and nano-mechanical responses of UHMWPE/SCF/nano-SiO₂ hybrid composites", Polymer Testing, 38 (2014) 26-34.
- [25] H. Tourani, A. Molazemhosseini, A. Khavandi, S. Mirdamadi, M. A. Shokrgozar, M. Mehrjoo, "Effects of fibers and nanoparticles reinforcements on the mechanical and biological properties of hybrid composite substitutes, (1992) 112-120.
- [10] G. Gergely, F. Wéber, I. Lukács, L. Illés, A.L. Tóth, Z.E. Horváth, J. Mihály, C. Balázs, "Nano-hydroxyapatite preparation from biogenic raw materials", Central European Journal of Chemistry, 8 (2010) 375-381.
- [11] S. Deville, E. Saiz, A. P. Tomsia, "Ice-templated porous alumina structures", Acta Materialia, 55 (2007) 1965-1974.
- [12] S. A. Mirsalehi, A. Khavandi, S. Mirdamadi, M. R. Naimi-Jamal, S. M. Kalantari, "Nanomechanical and tribological behavior of hydroxyapatite reinforced ultrahigh molecular weight polyethylene nanocomposites for biomedical applications", Journal of applied polymer science, 132 (2015).
- [13] J. Brandt, S. Henning, G. Michler, W. Hein, A. Bernstein, M. Schulz, "Nanocrystalline hydroxyapatite for bone repair :an animal study", Journal of Materials Science: Materials in Medicine, 21 (2010) 283-294.
- [14] S. Homaeigohar, M. Shokrgozar, A. Y. Sadi, A. Khavandi, J. Javadpour, M. Hosseinalipour, "In vitro evaluation of biocompatibility of beta-tricalcium phosphate-reinforced high-density polyethylene; an orthopedic composite", Journal of Biomedical Materials Research Part A, 75 (2005) 14-22.
- [15] E. Rigo, A. Boschi, M. Yoshimoto, S. Allegrini Jr, B. Konig Jr, M. Carbonari, "Evaluation in vitro and in vivo of biomimetic hydroxyapatite coated on titanium dental implants", Materials Science and Engineering: C, 24 (2004) 647-651.
- [16] R. Roop Kumar, M. Wang, "Biomimetic deposition of hydroxyapatite on brushite single crystals grown by the gel technique", Materials Letters, 49 (2001) 15-19.
- [17] T. Dutta Roy, J. L. Simon, J. L. Ricci, E. D. Rekow, V. P. Thompson, J. R. Parsons, "Performance of hydroxyapatite



استفاده از فرایند سل-ژل، دومین همایش
بین‌المللی و هفتمین همایش مشترک انجمن
مهندسی متالورژی ایران و انجمن علمی ریخته‌گری
ایران، ایران- سمنان، ۱۳۹۲.

- [34] M. G. N. C. Barry Carter, "Ceramic Materials Science and Engineering", (2007) ,Springer.
- [35] E. Enqvist, "Carbon nanofiller reinforced UHMWPE for orthopaedic applications : optimization of manufacturing parameters", Luleå, (2013) 49.
- [36] W. J. Wood, R. G. Maguire, W. H. Zhong, "Improved wear and mechanical properties of UHMWPE–carbon nanofiber composites through an optimized paraffin-assisted melt-mixing process", Composites Part B: Engineering, 42 (2011) 584-591.
- [37] M. C. Galetz, T. Blaß, H. Ruckdäschel, J. K. W. Sandler, V. Altstädt, U. Glatzel, "Carbon nanofibre-reinforced ultrahigh molecular weight polyethylene for tribological applications", Journal of Applied Polymer Science, 104 (2007) 4173-4181.
- [38] Y. Bin, A. Yamanaka, Q. Chen, Y. Xi, X. Jiang, M. Matsuo, Morphological, "Electrical and Mechanical Properties of Ultrahigh Molecular Weight Polyethylene and Multi-wall Carbon Nanotube Composites Prepared in Decalin and Paraffin", Polym. J, 39 (2007) 598-609.
- [39] L. Fang, Y. Leng, P. Gao, "Processing of hydroxyapatite reinforced ultrahigh molecular weight polyethylene for biomedical applications", Biomaterials, 26 (2005) 3471-3478.
- [40] W.-H. Z. Weston Wood Mechanical and Properties of UHMWPE Nanocomposites Filled with Carbon Nanofillers", (2000).
- [41] Q. Q. Hoang, A. J. Sicheri F Fau-Howard, D. S. C. Howard Aj Fau- Yang, D. S. Yang, "Bone recognition mechanism of porcine osteocalcin from crystal structure", (2003).
- [26] M. Sattari, A. Molazemhosseini, M. Naimi-Jamal, A. Khavandi, "Nonisothermal crystallization behavior and mechanical properties of PEEK/SCF/nano-SiO₂ composites", Materials Chemistry and Physics, 147 (2014) 942-953.
- [27] J.-L. Liu, Y.-Y. Zhu, Q.-L. Wang, S.-R. Ge, "Biotribological behavior of ultra high molecular weight polyethylene composites containing bovine bone hydroxyapatite", Journal of China University of Mining and Technology, 18 (2008) 606-612.
- [28] W. Li, C. Guan, J. Xu, J. Mu, D. Gong, Z.-r. Chen, Q. Zhou, "Disentangled UHMWPE/POSS nanocomposites prepared by ethylene_i in situ*/i* polymerization", Polymer, 55 (2014) 1792-1798.
- [29] O. J. C. Zhu, R. Jaskulka, W. Koller, W. Wu, "Effect of counterpart material and water lubrication on the sliding wear performance of crosslinked and non-crosslinked ultra high molecular weight polyethylene", Polymer testing, 23 (2004) 8.
- [30] D. J. Krzypow, C. M. Rimnac, "Cyclic steady state stress-strain behavior of UHMW polyethylene", Biomaterials, 21 (2000) 2081-2087.
- [31] J. Cooper, D. Dowson, J. Fisher, "Macroscopic and microscopic wear mechanisms in ultra-high molecular weight polyethylene", Wear, 162 (1993) 378-384.
- [32] L. Fang, Y. Leng, P. Gao, "Processing and mechanical properties of HA/UHMWPE nanocomposites", Biomaterials, 27 (2006) 3701-3707.
- [33] س. ع. میرصالحی، ع. خاوندی، ح. توسلی، س. روشنفر، "سترن نانوذرات هیدروکسی آپاتیت از پیش‌ماده‌های Ca(NO₃)₂.4H₂O و P₂O₅ با
- polyetheretherketone/short carbon fiber/Nano-SiO₂", Polymer Composites, 34 (2013) 1961-1969.



- [42] M. Abadi, I. Ghasemi, A. Khavandi, M. Shokrgozar, M. Farokhi, S. S. Homaeigohar, A. Eslamifar, "Synthesis of nano β -TCP and the effects on the mechanical and biological properties of β -TCP/HDPE/UHMWPE nanocomposites", *Polymer Composites*, 31 (2010) 1745-1753.
- [43] T. J. Webster, C. Ergun, R. H. Doremus, R. W. Siegel, R. Bizios, "Enhanced functions of osteoblasts on nanophase ceramics", *Biomaterials*, 21 (2000) 1803-1810.
- [44] R. Murugan, S. Ramakrishna, "Development of cell-responsive nanophase hydroxyapatite for tissue engineering", *American Journal of Biochemistry and Biotechnology*, 3 (2007) 118.
- [45] C. Ergun, H. Liu, J. W. Halloran, T. J. Webster, "Increased osteoblast adhesion on nanograined hydroxyapatite and tricalcium phosphate containing calcium titanate", *Journal of Biomedical Materials Research Part A*, 80 (2007) 990-997.
- [46] G. Altankov, F. Grinnell, T. Groth, "Studies on the biocompatibility of materials: Fibroblast reorganization of substratum-bound fibronectin on surfaces varying in wettability", *Journal of biomedical materials research*, 30 (1996) 385-391.